

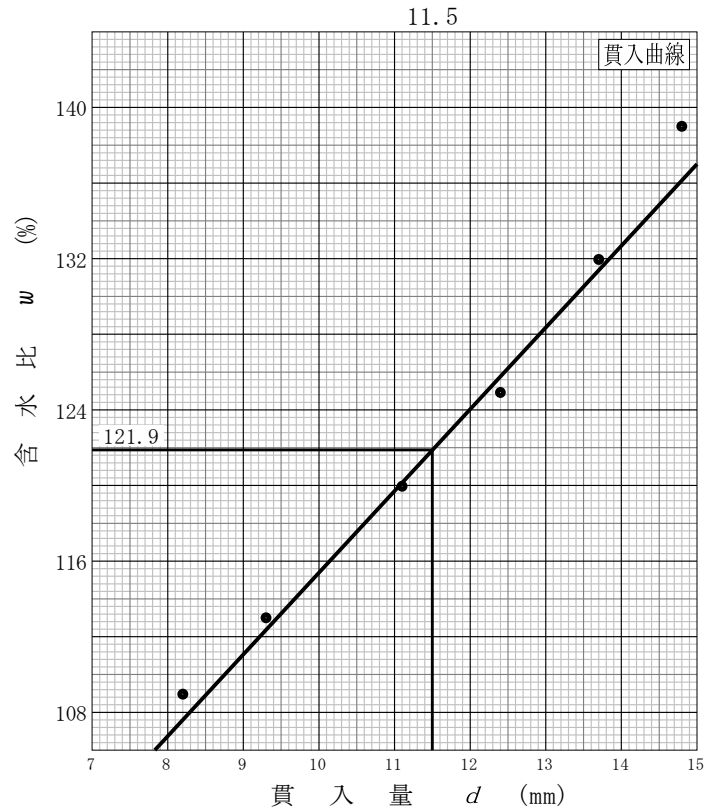
調査件名 SYSTEM21 最高級プロフェッショナル土質調査解析ソフト  
 長年の実績で信頼と安定したソフトを実現

試験年月日 2020年 1月 10日

試験者 佐藤 一郎

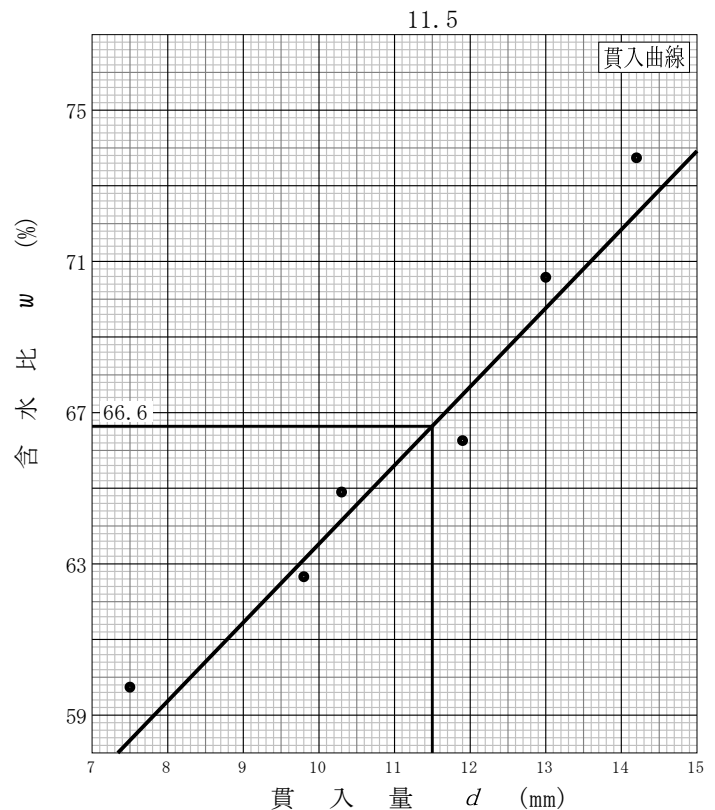
試料番号(深さ)	S1-1 (3.00m~3.70m)			
貫入量 $d$ mm	8.2	9.3	11.1	
含 水 比	容器 No.	1	2	3
	$m_a$ g	82.35	84.62	84.12
	$m_b$ g	56.16	58.36	56.31
含 水 比	$m_c$ g	32.126	35.123	33.125
	$w$ %	108.97	113.01	119.95
	貫入量 $d$ mm	12.4	13.7	14.8
含 水 比	容器 No.	4	5	6
	$m_a$ g	83.47	84.69	82.41
	$m_b$ g	54.34	53.65	52.01
含 水 比	$m_c$ g	31.025	30.125	30.139
	$w$ %	124.94	131.94	139.00
	液性限界 $w_L$ %	塑性限界 $w_p^{1)}$ %	塑性指数 $I_p^{1)}$	
121.9	63.3	58.6		

火山灰まじり粘土  
 自然含水比  $w_n = 66.6$  %      0.002mm以下の粘土含有量 11.8 %  
 コンシステンシー指数  $I_c = 0.944$       活性度  $A = 5.0$   
 液性指数  $I_L = 0.06$   
 塑性比  $P_r = 0.93$



試料番号(深さ)	S1-2 (6.00m~6.60m)			
貫入量 $d$ mm	7.5	9.8	10.3	
含 水 比	容器 No.	20	21	22
	$m_a$ g	87.63	86.54	95.74
	$m_b$ g	68.52	66.17	71.54
含 水 比	$m_c$ g	36.528	33.658	34.258
	$w$ %	59.73	62.65	64.91
	貫入量 $d$ mm	11.9	13.0	14.2
含 水 比	容器 No.	23	24	25
	$m_a$ g	86.50	89.77	89.65
	$m_b$ g	66.09	67.92	67.95
含 水 比	$m_c$ g	35.287	36.965	38.527
	$w$ %	66.26	70.59	73.75
	液性限界 $w_L$ %	塑性限界 $w_p^{1)}$ %	塑性指数 $I_p^{1)}$	
66.6	34.6	32.0		

砂まじり粘土  
 自然含水比  $w_n = 65.3$  %      0.002mm以下の粘土含有量 25.4 %  
 コンシステンシー指数  $I_c = 0.04$   
 液性指数  $I_L = 0.96$   
 塑性比  $P_r = 0.925$



特記事項  
 特記事項 フォールコーン  
 特記事項(2)

1) JIS A 1205またはJGS 0141により  
 塑性限界を求めた場合に記入する。